

# استفاده از روش توموگرافی لرزه‌ای تعیین پتانسیل نشت از تکیه‌گاه‌های سد بختیاری

یوسف شرقی<sup>۱\*</sup>، فیروز علی نیا<sup>۲</sup> و حمیدرضا سیاه‌کوهی<sup>۳</sup>

<sup>۱</sup>دانشکده مهندسی معدن، دانشگاه صنعتی سهند، تبریز، ایران

<sup>۲</sup>دانشکده مهندسی معدن، دانشگاه صنعتی امیر کبیر، تهران، ایران

<sup>۳</sup>موسسه ژئوفیزیک دانشگاه تهران، تهران، ایران

تاریخ دریافت: ۱۳۸۷/۰۵/۱۲ تاریخ پذیرش: ۱۳۸۷/۱۲/۱۱

## چکیده

توموگرافی از زمان اولین رسید برای ارایه تصویری از ساختار سرعتی زیرزمین از امواج لرزه‌ای استفاده می‌کند. این روش به طور وسیع در علوم زمین و زمین‌شناسی مهندسی به کار می‌رود. زمان سیر امواج حاصل از چشمۀ لرزه‌ای که توسط گیرنده‌های دریافت می‌شوند، برای مطالعه محدوده بین چشمۀ و گیرنده‌ها به کار می‌رود. این نوشتار، برداشت‌های توموگرافی انجام یافته در ساختگاه سد بختیاری را مورد بررسی قرار می‌دهد. هدف این پژوهش، پیدا کردن زون‌های کم سرعتی است که منطبق با بخش‌های درزه‌دار با پتانسیل نشت در جناحین ساختگاه است. برای تجزیه و تحلیل داده‌های برداشت شده در سد بختیاری، تحلیل سه بعدی برای مقابله با مسئله عدم یکتاپی جواب در داده‌های توموگرافی، یک برتری سیار بالا به شمار می‌رود برای ریزوماتیک SIRT Thurber (1987) & استفاده شده و عملیات وارون با استفاده از تکنیک SIRT صورت گرفته است. در این مطالعه، میانگین سرعت در بیشتر مقاطعی که برداشت توموگرافی در آنها انجام شده در حدود  $3 \text{ km/s}$  به دست آمده است. با استفاده از رابطه Barton (2006) می‌توان گفت که نفوذپذیری تکیه‌گاه‌های سد، در مجموع پایین است. در جناح راست و در افق‌های بالاتر از  $690$  متری، یک زون کم سرعت دیده می‌شود که نشان‌دهنده گسترش زون‌های ضعیف موجود در سطح تا این ژرف است. با وجود حضور زون‌های ضعیف در برخی از توموگرام‌ها، کیفیت توده سنگ ساختگاه در مجموع خوب است و با طراحی پرده آب‌بند مناسب می‌توان از نشت آب از این زون‌ها جلوگیری کرد.

**کلید واژه‌ها:** توموگرافی لرزه‌ای، توموگرام، سد، نشت، لرزه‌نگاری، وارون‌سازی، لوزن، نفوذپذیری

E-mail: YSharghi@sut.ac.ir

\*نویسنده مسئول: یوسف شرقی

## ۱- مقدمه

نسبت به آزمایش‌های لوزن، محدوده و حجم بیشتری را در بر می‌گیرند و هزینه آنها نیز به مراتب از هزینه‌های حفاری و آزمایش‌های لوزن کمتر است. بنابراین، پیش از اقدام به افزایش حفاری‌ها در منطقه و برای کسب اطلاعات کلی از وضعیت ساختگاه، بیشتر مطالعات توموگرافی در مراحل اولیه و با استفاده از حفاری‌های موجود صورت می‌گیرد. مطالعات مختلفی برای بررسی ارتباط بین عدد لوزن و سرعت انتشار موج در سنگ، صورت گرفته است. بررسی‌های انجام شده بر روی پی‌های سخت توسط Barton (2006)، نشان می‌دهد که با افزایش سرعت امواج ( $P$ ) ( $V_p$ ) در سنگ، مقادیر لوزن ( $L$ ) به صورت نمایی کاهش پیدا می‌کند ( $L \approx 10^{(3.5-V_p)}$ ). بر اساس این رابطه، اگر  $V_p$  در یک توده سنگ، برابر  $2/5 \text{ km/s}$  باشد، مقادیر لوزن حدود  $10$  خواهد بود؛ این مقدار لوزن و مقادیر بالاتر، بیشتر نشان‌دهنده پتانسیل نشت بالا بوده و این مناطق در طراحی تزریق مورد توجه قرار می‌گیرند. این نوشتار، برداشت‌های توموگرافی انجام یافته در ساختگاه سد بختیاری را مورد بررسی قرار می‌دهد. برای تجزیه و تحلیل داده‌های به دست آمده از این سد، از توموگرافی سه بعدی که برتری‌های ویژه‌های دارد، استفاده شده است. هدف از این بررسی، پیدا کردن مناطق کم سرعتی است که منطبق با بخش‌های درزه‌دار با پتانسیل نشت در جناحین ساختگاه است.

ساختگاه سد بختیاری در بخش پایین دست رودخانه بختیاری در استان لرستان و بخش جنوب باختری ایران در دامنه‌های جنوب باختری کوه‌های زاگرس چین خورده و در  $5$  کیلومتری شمال باختر ایستگاه تنگ پنج در مسیر راه آهن تهران-آهواز قرار دارد. سد از نوع بتی دو کمانی نازک و به بلندی  $330$  متر از بستر رودخانه طراحی شده است که از نظر بلندی، بلندترین سد کمانی جهان به شمار می‌رود.

## ۲- مبانی نظری روش توموگرافی

توموگرافی برای ارایه تصویر، نیازمند مدل ریاضی برای یافتن متغیرهای مدل (مجهولات)

توموگرافی لرزه‌ای زمان سیر (Travel time tomography) یکی از روش‌هایی است که به طور گسترده در علوم زمین و زمین‌شناسی مهندسی به کار می‌رود. این نوع توموگرافی بیشتر در مناطقی که دو چاه یادو گالری هم‌جوار در دسترس باشد برای تعیین ویژگی‌های مهندسی ساختگاه و کاربردهای ژئوتکنیکی (Angioni et al., 2003; Hyndman et al., 1996) اکتشافات معدنی (Greenhalgh et al., 2003; Wong, 2000)، پیش‌بینی خطرات احتمالی معدنکاری (Hanson et al., 2002) و توصیف مخازن نفتی (Williams et al., 1997) و غیره مورد استفاده قرار می‌گیرد.

در توموگرافی لرزه‌ای، هدف، تهیه یک نقشه دقیق از تغییرات سرعت زیرسطحی با استفاده از چشمۀ‌ها و گیرنده‌های سطحی و زیرسطحی است. این روش برای تکمیل داده‌های حفاری برای تفسیر مناطق پیچیده از نظر زمین‌شناسی یا برای تعیین پراکندگی دقیق سازندۀ‌های ضعیف (کم سرعت) و قوی (پرسرعت) می‌تواند مورد استفاده قرار گیرد. این روش همچنین می‌تواند برای تعیین تغییرات زمانی در سرعت سازندۀ‌ها (به طور مثال برای ارزیابی مناطق سست در دیواره یک تونل، پیش و پس از حفاری) مورد استفاده قرار گیرد (Angioni et al., 2003). این روش دقت بالایی دارد و انتظار می‌رود در آینده نیز بهبود یابد.

برای بررسی پتانسیل نشت از پی و جناحین یک ساختگاه سد، باید میزان نفوذپذیری بر جای آن را تعیین کرد. نفوذپذیری تأیید کننده آسانی جریان سیال در محیط مخلخل است که بیشتر، با افزایش تراکم و بازشدگی درزه‌ها افزایش می‌یابد. برای تعیین نفوذپذیری بر جای توده سنگ بیشتر از آزمایش‌های لوزن استفاده می‌شود. اطلاعات به دست آمده از این آزمایش، تنها محلود به اطراف گمانه است. همچنین، چنانچه درزه‌ها و ناپیوستگی‌ها به طور مؤثر توسط گمانه قطع نشوند، اطلاعات به دست آمده از درستی که از نفوذپذیری نخواهد بود. افزایش تراکم و بازشدگی درزه‌ها در توده سنگ، سرعت انتشار امواج لرزه‌ای را در آن کاهش می‌دهد. بنابراین، کاهش سرعت می‌تواند تأیید کننده افزایش نفوذپذیری و افزایش امکان نشت از ساختگاه، پس از آبگیری سد باشد. اطلاعات لرزه‌ای توموگرافی

مستقیم یا به روزآوری اطلاعات زمان سیر در مرحله ردیابی پرتو(Ray tracing) است. به طور معمول، این مرحله از کار بیش از ۹۵ درصد زمان اجرای برنامه را به خود اختصاص می دهد (Bai & Greenhalgh, 2005). ردیابی پرتو، یک مسئله با دو مقادیر مزدی است، نقاط پایانی مشخص هستند (موقعیت چشم و گیرنده)، و مسیر انتشار و زمان بایستی تعیین شوند. روش‌های متداول زیادی برای ردیابی پرتو وجود دارد که همگی اصل فرم را تأمین می کنند. روش‌های ردیابی پرتو به انواع زیر دسته‌بندی می شوند: روش‌های تک نقطه (روش‌های پرتابی)، روش‌های دو نقطه (روش‌های انحنایی) و روش‌های میدانی (روش‌های شبکه) (Gheshlaghi, 1997).

در روش‌های پرتابی، ابتدا یک مجموعه از زاویه‌های خروجی ممکن برای پرتو انتخاب می شوند. مسیر درست و مناسب موج با درون‌یابی مسیرهای انتخاب شده و طی یک فرایند تکرار تعیین می شود. این روش‌ها امواج سر (head wave) را در بر نمی گیرند و برای پرتوهای پراش و مناطق سایه قابل استفاده نیست (Gheshlaghi, 1997).

در روش‌های شبکه، ابتدا مجموعه‌ای از گره‌ها به داخل مدل سرعتی اختصاص داده می شود و سپس زمان سیر برای بخش‌های مختلف محاسبه می شود و در نهایت، با جستجوی گرافیکی بهترین مسیر تعیین می شود. عیب این روش‌ها این است که زاویه شکست ممکن است همزمان با زاویه برخورد تغییر پیدا نکند. همچنین، این روش‌ها زمان محاسبه و حافظه قابل توجهی را نیاز دارند (Gheshlaghi, 1997).

روش‌های انحنایی همیشه به جوابی همگرا هستند و پرتوهای پراش یافته و پرتوهای مربوط به زون‌های سایه توسط آنها قابل ردیابی است. از میان روش‌های انحنایی موجود، الگوریتم ارائه شده توسط Um & Thurber (1987) دقیق‌تری دارد و مسیر درست را با سرعت بیشتری نسبت به روش‌های معمول پرتویایی پیدا می کند. با توجه به برتری‌های بالای الگوریتم Um و Thurber، در این مطالعه برای ردیابی پرتو و محاسبه زمان رسید در هر تکرار از این روش استفاده شده است.

#### ۴- وارون‌سازی

در مرحله وارون‌سازی، هدف تعیین مقدار متغیرهای مدل S مطابق الگوریتم شکل ۲ است، به طوری که تا حد امکان داده‌های حاصل از مدل با داده‌های مشاهده شده اختلاف کمتری داشته باشد. حالت ایده‌آل، آن است که چون خود مسئله غیر خطی است، برای حل آن نیز از الگوریتم‌های غیر خطی استفاده شود.

برای حل مسائل غیر خطی، می‌توان از روش‌های وارون ماتریسی استفاده کرد. روش‌های ماتریسی متنوع بوده و از نظر محاسباتی، کارایی خوبی دارند با این حال، در این روش‌ها، میزان محاسبات بالا است و حافظه زیادی را می طلبند. با توجه به کارایی روش تفکیک مقداری تکین (Singular Value Decomposition) در مواجه با ماتریس‌های تکین یا تقریباً تکین، برای حل مسائل ماتریس کوچک یا متواتر این روش ترجیح داده می شود (Liu, 2005). مقداری تکین کوچک می‌توانند خطاها را بزرگی در فرایند حل مسئله تولید کنند و موجب ناپایداری جواب شوند. با کارگیری شیوه‌های متفاوت تنظیم (regularization)، متغیرهایی به مسئله اضافه می کنند تا بدین صورت، بد شرطی (ill condition) مسئله را کاهش دهند (Liu, 2005).

برای دستگاه معادلات خطی با ماتریس‌های بزرگ مانند معادله  $\Delta s = \Delta t$  برای پرهیز از مسائل مربوط به ماتریس‌های تکین بمندرجت از محاسبات ماتریسی استفاده می شود. در این گونه مسائل، الگوریتم‌های تکراری همچون روش بازسازی (ART) یا روش بازسازی جبری همزمان (SIRT) کارایی خوبی دارند. این روش‌ها سریع، قوی و انعطاف‌پذیر (Gu et al., 2006) و از نقطه نظر پردازش و ذخیره اطلاعات قابل اجرا و بسیار مؤثر هستند و همچنین مطابقت خوبی با مسائل غیر خطی دارند (Santamarina & Fratta, 2005).

است. این مدل ریاضی بیانگر ارتباط بین داده‌ها و مجہولات است. از آنجا که اندازه‌گیری‌های انجام شده بیشتر گسسته هستند، بنابراین حل آنها مستلزم گسسته‌سازی مدل ریاضی است. مرسوم ترین گسسته‌سازی مدل در توموگرافی لرزه‌ای، تقریب زمین پیوسته با بلوک‌هایی با سرعت (کندی) ثابت است (شکل ۱). روش‌های توموگرافی برای شروع محاسبه نیازمند یک برآورد اولیه برای متغیرهای مدل هستند. با به کارگیری برآورد اولیه برای متغیرهای مدل، از راه محاسبات مستقیم (Forward calculation) و روش‌های ردیابی مسیر پرتو، اولین سری از داده‌های زمان اولین رسید محاسبه می شوند. فرض کنید  $s_{ij}, \dots, s_{i1}$  یک مجموعه از زمان سیرهای مشاهده شده برای زوج چشمه-

گیرنده در یک محیط با کندی تعریف شده توسط  $(x)$  باشد؛ اگر  $p_i$  مسیر انتشار موج آمین زوج چشمه و گیرنده باشد، با صرف نظر کردن از خطای مشاهده‌ای می‌توان نوشت

$$\int s(x)dl = t_i \quad i=1, \dots, m \quad (1)$$

در رابطه غیرخطی (۱) برای یک مدل بلوک‌بندی شده، اگر  $l_i$  طول مسیر  $i$  در سلول  $j$  باشد، به صورت زیر خواهد بود

$$l_{ij} = \int_{p_i \cap cell_j} dl \quad (2)$$

برای مدلی با  $n$  سلول رابطه (۱) را در شکل گسسته‌اش می‌توان به صورت زیر نوشت

$$\sum_{j=1}^n l_{ij} s_j = t_i \quad i=1, \dots, m \quad (3)$$

با تعریف بردارهای ستونی  $s$  و ماتریس  $L$  رابطه (۳) را می‌توان به صورت ماتریس زیر بازنویسی کرد.

$$Ls = t \quad (4)$$

$$L = \begin{pmatrix} l_{11} & l_{12} & \dots & l_{1n} \\ l_{11} & l_{11} & \dots & l_{2n} \\ \vdots & \vdots & \ddots & \vdots \\ l_{m1} & l_{m2} & \dots & l_m \end{pmatrix}, \quad t = \begin{pmatrix} t_1 \\ t_2 \\ \vdots \\ t_m \end{pmatrix}$$

در ادامه، با انتخاب یکی از روش‌های وارون، مقادیر متغیرهای مدل، طی یک فرایند تکراری آن چنان نسبت به برآورد اولیه بهبود می‌یابند که همخوانی بهتری با داده‌های اندازه‌گیری شده داشته باشند.

در این مطالعه، برای انجام توموگرافی از وارون غیرخطی استفاده شده است. در وارون‌سازی غیر خطی فقط مسخنه است (همراه با موقعیت چشمها و گیرندها) و هدف به دست آوردن  $s$  و در خیلی از موارد  $L$  است. در اینگونه مسائل وابستگی مسیر پرتو به تغییرات کندی محیط به شدت در طراحی الگوریتم وارون تأثیر می‌گذارد. روش غیر خطی، بیشتر برای حل مسائلی با تغییرات کندی شدید در ناحیه مورد مطالعه، به کار می‌رود. در چنین محیط‌هایی، مسیر پرتو، خطوطی با انتخای خیلی زیاد خواهد بود. در وارون‌سازی خطی، مقادیر  $t$  و  $L$  معلوم بوده و هدف تعیین  $s$  است. فرضی که در حالت خطی به کار می‌رود این است که مسیر پرتو از پیش مشخص است و بیشتر، مسیر پرتوها را خطوط مستقیمی که چشمها و گیرنده را به هم وصل می‌کنند، در نظر می‌گیرند (Golami, 2005).

در وارون‌سازی غیر خطی بیشتر، یک الگوریتم بازگشتی برای یافتن جواب تقریبی  $s$  نیاز است. ساختار پایه چنین الگوریتمی در شکل ۲ نشان داده شده است. این الگوریتم برای مدل‌هایی با اختلاف کندی کم به یک نتیجه مطلوب همگرا خواهد شد.

#### ۳- ردیابی پرتو

مهم‌ترین و پرهزینه‌ترین بخش محاسباتی در توموگرافی زمان سیر، بخش محاسبات

است. در سمت شمال خاوری تاقدیس سیاه کوه که تحت تأثیر گسل F1 قرار گرفته است، بخشی از لایه‌های SV3 که بفصله زیر گسل قرار دارند، بهشدت چین خورده و چین‌های زیگ‌زاگ تقریباً همگنی را تشکیل داده‌اند. این زون‌ها به صورت نواحی با چین خورده‌گی جناغی (Chevron fold zone) در روی نقشه‌های زمین‌شناسی نشان داده شده‌اند (شکل ۶). در هسته تاقدیس سیاه کوه سه زون شکنجی (Kink Band) دارند که در داخل لایه‌های واحدهای SV2 و SV3 در دو طرف دره دیده می‌شود. زون‌های شکنجی آشفته در هسته تاقدیس سیاهکوه به احتمال زیاد در هنگام چین خورده‌گی ساختار تاقدیسی و به‌دلیل نبود فضای کافی برای جابه‌جایی لایه‌ها در هسته تاقدیس ایجاد شده‌اند. با توجه به خردشدنگی و شکستگی‌های به وجود آمده در این زون‌ها، این بخش‌ها به عنوان مناطق ضعیف و مستعد نشت پس از احداث سد شناخته شده‌اند.

واحد SV4 و SV5- آین دو واحد از آهک‌های متوسط تا سترلایه حاوی گردهک (نودول)‌های سیلیسی تشکیل شده است.

از نظر عوارض ساختمانی، زمین ساخت شدید در محدوده طرح، موجب توسعه و گسترش انواع چین‌ها از جمله چین خورده‌گی‌های جناغی و چین خورده‌گی‌های شکنجی، گسل‌های متعدد و پیدایش چندین دسته درزه (سه دسته درزه اصلی و تعدادی درزه‌های تصادفی) شده است (Dietler et al., 2008).

واحد SV6 و SV7- آین دو واحد از لایه‌های سترلایه‌های آهک و آهک‌های مارنی با میان لایه‌های نازک مارنی تشکیل شده‌اند (شکل ۳).

## ۶- داده‌برداری لرزه‌ها

برداشت‌های توموگرافی در محدوده محور سد، در دو تکیه گاه چپ و راست اجرا شده است. از ۱۱ برداشت توموگرافی لرزه‌ای، ۵ مقطع در تکیه گاه چپ و ۶ مقطع در تکیه گاه راست واقع شده است. داده‌برداری به صورت ترکیبی از برداشت‌های گالری به گالری با منبع انفجاری و در درون خود گالری‌ها (در مقطع افقی) با منع چکشی، اجرا شده است. شکل ۴، موقعیت گالری‌های چشم و گیرنده رادر از این برداشت‌های انشان می‌دهد. هدف از انجام مطالعه، بیشتر تعیین ساختار سرعتی محدوده بین گالری‌ها برای شناسایی وضعیت کلی توده‌سنگ و تعیین موقعیت و نحوه گسترش زون‌های ضعیف بوده است. با توجه به موقعیت نسی گالری‌ها با یکدیگر، از توموگرافی سه بعدی استفاده شده است. در این روش، توانایی تحلیل سه بعدی داده‌ها برای مقابله با مسئله عدم یکتایی جواب در داده‌های توموگرافی، یک برتری بسیار بالا به شمار می‌رود.

## ۷- نتایج و بحث

با توجه به اینکه ارایه تصویر توموگرافی مربوط به تمام مقاطع برداشت شده در این مقاله با توجه به حجم آنها امکان پذیر نیست، فقط ۳ مقطع از جناحین تکیه گاه برای توصیف کلی ساختگاه آورده شده است.

در تصاویر سه بعدی در بلوک‌هایی که پرتو موج از آنها عبور نکرده است، از مقدار میانگین سرعت انتشار موج (حاصل از زمان سیر میانگین زوج چشم و گیرنده‌ها) استفاده شده است.

از آنجا که ترکیب سنگی منطقه، بیشتر، از سنگ‌آهک و یا ترکیبات نزدیک به آن تشکیل شده است، بنابراین، سرعت سیر موج در واحدهای مختلف، مشابه هم خواهد بود. آزمایش‌های انجام شده برای تعیین سرعت موج P در نمونه‌های متعدد، نشان می‌دهد سرعت میانگین ماده سنگ (سنگ بدون درزه) در واحدهای مختلف سازند سروک نزدیک به ۶/۱ km/s است (Dietler et al., 2008).

تصویر گرفته است، هیچ گونه پدیده کارستی را نشان نمی‌دهد. بنابراین با توجه به وضعیت صورت گرفته است، هیچ گونه پدیده کارستی را نشان نمی‌دهد. بنابراین با توجه به وضعیت

مبناً روش‌های تکراری، روش Kaczmarz solution در حل معادلات خطی است که در آنها ویژگی‌های ماتریس‌های پراکنده به کار گرفته می‌شوند. در این روش‌ها، محاسبات ماتریسی به صورت ردیف به ردیف انجام می‌گیرند و احتیاجی به ذخیره کردن کلیه عناصر ماتریس نیست.

حل مسئله وارون به روش SIRT توسط الگوریتمی با ترتیب زیر صورت می‌گیرد.

۱- ردیابی پرتو (با استفاده از روش‌های موجود مثل روش Um و Thurber).

۲- محاسبه طول قطعات پرتو در سلول‌هایی که پرتو ارسالی از فرستنده به گیرنده از آنها عبور می‌کند.

۳- محاسبه زمان باقی مانده برای پرتو (زمان مشاهده شده منهای زمان محاسبه شده). با استفاده از وضعیت پراکنده‌گی کنندی در محیط و ذخیره کردن نتایج.

۴- تکرار مراحل ۱ تا ۳ برای همه پرتوها.

۵- اصلاح کنندی هر سلول با در نظر گرفتن همه پرتوهای عبوری (تفاوت و برتری آن نسبت به روش ART)

تکرار مرحله ۱ تا ۵ تا زمانی که مقدار باقی‌مانده از یک مقدار قابل قبول که در مرحله پیشین بدست آمده کمتر باشد.

اصلاح کنندی هر سلول در مرحله ۵ با استفاده از معادله زیر صورت می‌گیرد.

$$s_j^{(k+1)} = s_j^{(k)} + \sum_i^M \frac{(e_i)^{(k)} I_{i,j}}{\sum_j^N (I_{i,j})^2} \sum_i^M I_{i,j} \quad (5)$$

M تعداد معادلات (یا تعداد پرتوها)، N تعداد متغیرها (یا تعداد سلول‌ها)،  $s_j^{(k)}$  کنندی سلول زام بعد از k تکرار،  $\alpha$  شماره پرتو،  $\beta$  شماره سلول، k زمانه تکرار،  $e_i^{(k)}$  میزان خطا مربوط به  $\alpha$  ایندیازه گیری (پرتو) پس از k امین تکرار است (Santamarina & Fratta, 2005).

به تازگی تلاش‌هایی برای استفاده از روش‌های تبدیلی، منطق فازی Boschetti et al. 1996 (Santamarina & Fratta, 2005)، الگوریتم ژنتیک (Santamarina & Fratta, 2005) و شبکه‌های عصبی (Bichkar et al. 1998; Baan & Jutten, 2000) و روش‌های زمین آماری (Hansen et al., 2006) در حل مسائل ساختگاهی روش‌گرفته است، با این حال، هنوز این روش‌ها معمول نشده‌اند. با توجه به برتری‌های روش‌های تکراری و سادگی اجرای آنها، در این مطالعه انجام عملیات وارون در هر تکرار با استفاده از روش SIRT صورت گرفته است.

## ۵- زمین‌شناسی ساختگاه سد

محل سد بختیاری در زون زاگرس چین خورده و در بخش جنوب باختیری این زون قرار گرفته است. توالی سنگ‌شناسی منطقه، شامل سازندهای واپسیه به کرتاسه تا میوسن است. دو سازند گرو (GR) و سازند سروک در محل احداث سد واقع شده‌اند. سازند گرو در بالا دست تنگه رخمنون داشته ولی در دره محل سد دیده نمی‌شود. سازند سروک را در ساختگاه سد بختیاری به ۷ گروه تقسیم‌بندی کرده‌اند که شامل واحدهای زیر است (Dietler et al., 2008).

واحد SV1- این واحد در محل پی سد و در محل نیروگاه سد نیز هیچ رخمنون ندارد. رسوبات SV1 از میان لایه‌ای از آهک‌های مارنی متوسط تا سترلایه و مارن‌های ریزلایه و شیل تشکیل شده است.

واحد SV2- بخش بالایی SV2 به صورت هسته مرکزی تاقدیس سیاه کوه رخمنون داشته و بخش مرکزی سد طراحی شده روی آن قرار می‌گیرد. SV2 از آهک‌های مارنی با میان لایه‌های نازک از مارن و شیل تشکیل شده است.

واحد SV3- این واحد از میان لایه‌های آهک مارنی و آهک سیلیسی تشکیل شده

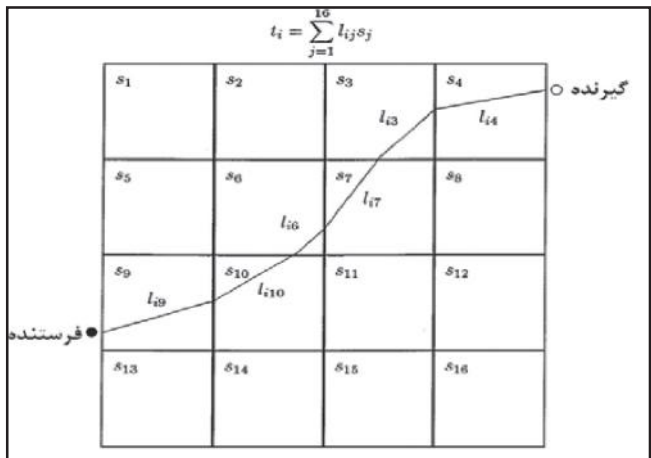
نشان دهنده این است که در مقایسه با دیگر بخش‌های ساختگاه، این بخش بسیار ضعیف و مستعد گذردهی بالای آب است. برداشت ناپیوستگی هادردو گالری بالا، درزه‌های راباتراکم بالا در آهانشان می‌دهد. که تأیید کننده حضور زون شکنجی (Kink zone) است. بنابراین گسترش زون شکنجی در ژرف‌فا و در بین این دو گالری با استفاده از نتایج توموگرافی تأیید می‌شود.

## ۸- نتیجه‌گیری

میانگین سرعت در بیشتر برش‌هایی که برداشت توموگرافی در آنها انجام شده در حدود  $3 \text{ km/s}$  به دست آمده است. با توجه به بررسی‌های Barton، در مورد ارتباط بین سرعت و عدد لوژن، این مقدار معادل با لوژن‌های پایین و در حدود  $3 \text{ km/s}$  است. این مقدار نشان می‌دهد که نفوذپذیری بر جای تکیه گاه‌های سد در مجموع پایین است. با توجه به ناپیوستگی‌های متعدد و زون‌های خرد شده ناشی از چین خوردگی در محل ساختگاه، احتمال نشت در برخی بخش‌ها وجود دارد که در برش‌های توموگرافی، این بخش‌ها با سرعت پایین خود را نشان داده‌اند. در جناح راست و در افق‌های بالاتر از  $690 \text{ متری}$ ، میانگین سرعت در حدود  $2 \text{ km/s}$  حاصل شده است که نشان دهنده حضور زونی بسیار ضعیف است و این بخش در مقایسه با کل ساختگاه، پتانسیل نشت بسیار بالایی دارد. با توجه به تراکم درزه‌ها در دو گالری GR2 و GR3 و نتایج به دست آمده از توموگرافی گسترش زون شکنجی در ژرف‌تا بالای گالری GR2 تأیید می‌شود. سرعت‌های به دست آمده از توموگرافی با مقادیر لوژن که از گمانه‌ها به دست آمده است، انطباق خوبی با هم دارند. بنابراین، از تصاویر توموگرافی می‌توان در طراحی پرده آب‌بند بهره گرفت. همچنین با توجه به مشخص بودن محل زون‌های ضعیف روی این تصاویر، می‌توان از آنها به منظور محل یابی گمانه‌های اکشافی جدید و شبیه و آزموت حفر آنها استفاده کرد.

## ۹- سپاسگزاری

بر خود لازم می‌دانم از شرکت‌های محترم آب نیرو، صحراءکاو، مشارکر، مشارکر، (طرح بختیاری) و بویژه آقایان مهندس موسوی و مهندس هفتانی که امکانات و اطلاعات لازم برای انجام این پژوهش را فراهم کرده‌اند تشکر کنم. همچنین از آقای علی غلامی دانشجوی دکترای موسسه ژئوفیزیک که در ابتدای کار، مطالب ارزشمندی را در اختیار اینجنب قرار دادند، نهایت سپاس را دارم.

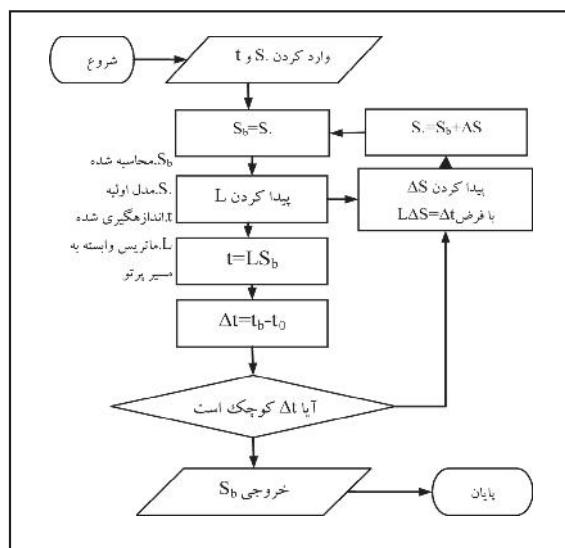


شکل ۱- توصیف نمادینی از مسیرهای پرتو لرزه‌ای از میان یک مدل گستته با میزان کندی‌های ثابت در سلول‌ها (Berryman, 2000).

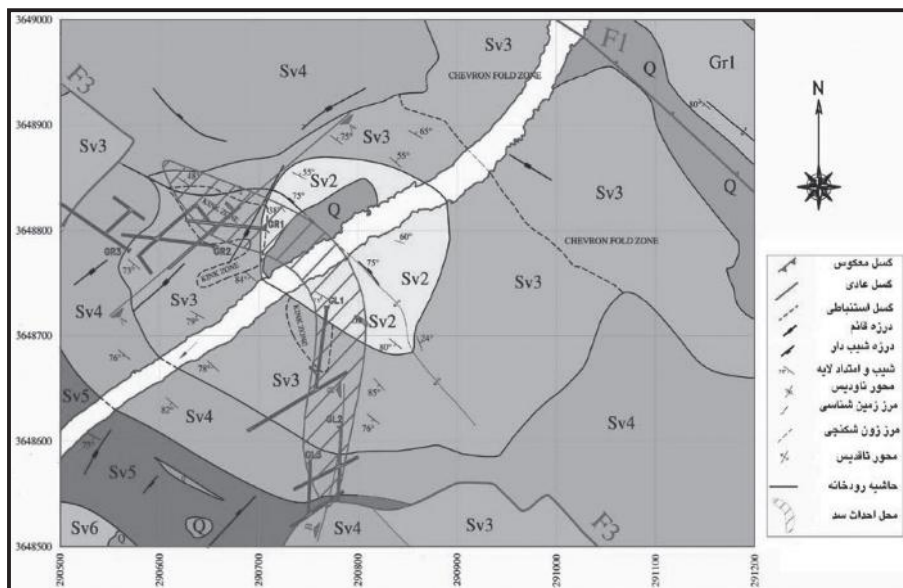
زمین‌شناسی ساختمانی محل احداث سد می‌توان گفت محتمل ترین عامل در کاهش سرعت امواج P در بخش‌های مختلف، حضور زون‌های ضعیف مثل سطوح لا یه‌بندی، درزه‌ها، زون‌های گسلی و زون‌های خرد شده ناشی از عملکرد چین خوردگی بوده است. شکل ۵، تصویر سه بعدی توزیع سرعت بین دو گالری GL2-GL3 مربوط به جناح چپ ساختگاه را نشان می‌دهد. میانگین سرعت در این بخش از ساختگاه در حدود  $3 \text{ km/s}$  است. برش زمین‌شناسی رسم شده در امتداد محور سد که بخشی از آن از بالای گالری GL2 عبور می‌کند، در شکل ۶ نشان داده شده است. برش مربوط به ورودی گالری GL3 در شکل دیده نمی‌شود که دلیل آن، قرار نداشتن این گالری در برش زمین‌شناسی رسم شده است. پدیده‌های زمین‌شناسی موجود در این برش شامل حضور بخشی از واحدهای SV3 و SV4، مرز میان دو واحد و حضور درزه‌هایی است که تقریباً با روند قائم مشاهده می‌شوند. برای مقایسه مقادیر سرعت به دست آمده از توموگرافی با برش‌های زمین‌شناسی، مقطع سرعت بین دو گالری GL2-GL3 از تصویر سه بعدی سرعت استخراج شده است (شکل ۷). بخش‌های با سرعت کم، که روند آنها با یک خط چین، نشان داده شده است تقریباً مرتبط با مرز دو واحد SV3 و SV4 در برش زمین‌شناسی است. بررسی مرز این دو واحد در گمانه‌های اکشافی که آزمایش لوژن در آنها انجام شده است نشان می‌دهد که مقادیر لوژن در هنگام رسیدن به این مرز، افزایش قابل توجهی می‌یابد Dietler et al., 2008). افزایش مقادیر لوژن در این مرز، تأیید کننده حضور ناحیه‌ای با تخلخل بالا و نامتراکم است و همین امر، باعث کاهش سرعت در این بخش شده است. افزون بر روند سرعتی اشاره شده، تغییرات دیگری نیز در مقاطع سرعت مربوط به برداشت توموگرافی بین GL2-GL3 مشاهده می‌شود. که می‌توان آنها را به حضور زون‌های ضعیف در بین دو گالری نسبت داد. برای نمونه، برداشت زمین‌شناسی گالری GL2 یک زون گسله به سمت روند نیم متر را در فاصله  $20 \text{ متری}$  از دهنه ورودی مشخص کرده است (Dietler et al., 2008) که در مقاطع سرعت این بخش با افت شدید سرعت همراه است، محل این زون در شکل ۷، با نقطه چین نشان داده شده است. شکل ۸ پراکندگی سرعت در مقطع بین دو گالری GR1-GR2 را نشان می‌دهد. این دو گالری در امتداد تقریباً N45E حفر شده‌اند. گالری GR1 در افق  $560 \text{ متری}$  و گالری GR2 در افق  $694 \text{ متری}$  قرار دارد. برای مقایسه نتایج به دست آمده از سرعت با وضعیت زمین‌شناسی بخش مورد مطالعه، برش زمین‌شناسی قائم در امتداد گالری GR1 تهیه شده است (شکل ۹).

برای مقایسه سریع، بخش‌های مختلف مقطع مورد مطالعه روی هر دو شکل، با حروف A، B، C، D و مشخص شده است. میانگین سرعت در این مقطع، حدود  $3 \text{ km/s}$  به دست آمده که در مقایسه با برش‌های دیگر، بیشتر است. این سرعت، بر اساس نظر (2006) Barton، منطبق با لوژن‌های پایین بوده و تأیید کننده نفوذپذیری کم است. در بخش‌هایی از این مقطع، مقادیر سرعت کاهش یافته است (زون‌های A و B در شکل ۸). در شکل ۹، این زون‌ها با لوژن‌های بالا دیده می‌شوند؛ این افزایش نفوذپذیری و کاهش سرعت، احتمالاً به دلیل افزایش تراکم ناپیوستگی‌ها در این بخش است. در زون C روند وارون دیده می‌شود؛ سرعت در این زون افزایش یافته و به بیش از  $4 \text{ km/s}$  رسیده است. آزمایش فشار آب در این زون، آبخوری بسیار پایینی را نشان می‌دهد. در زون D، سرعت انتشار موج، دوباره کاهش می‌یابد که علت آن نزدیکی به محور چین و قرار گرفتن در زون شکنجی (Kink Zone) است.

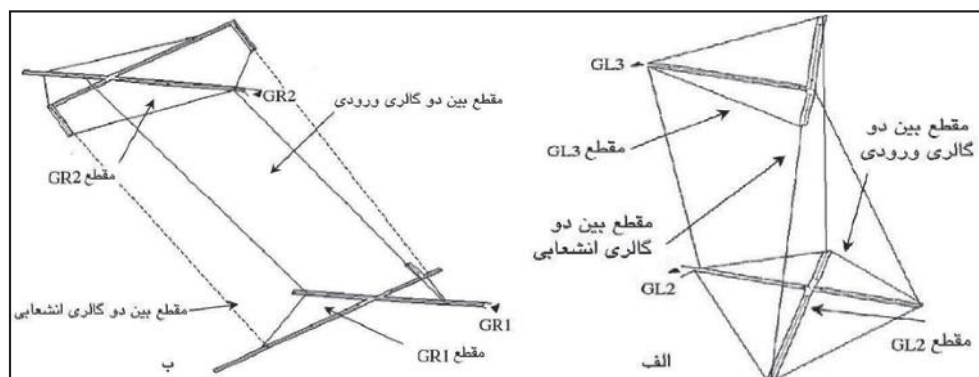
برای کنترل وضعیت زون‌های بالاتر، برداشت توموگرافی بین دو گالری GR2-GR3 نیز انجام شده است (شکل ۱۰). GR2 در افق  $694 \text{ متری}$  و گالری GR3 در افق  $753 \text{ متری}$  قرار گرفته است. سرعت میانگین بین دو گالری در حدود  $2 \text{ km/s}$  داشته است و زون‌های ضعیفی با سرعت نزدیک به  $1/2 \text{ km/s}$  دارند. پایین بودن میانگین سرعت،



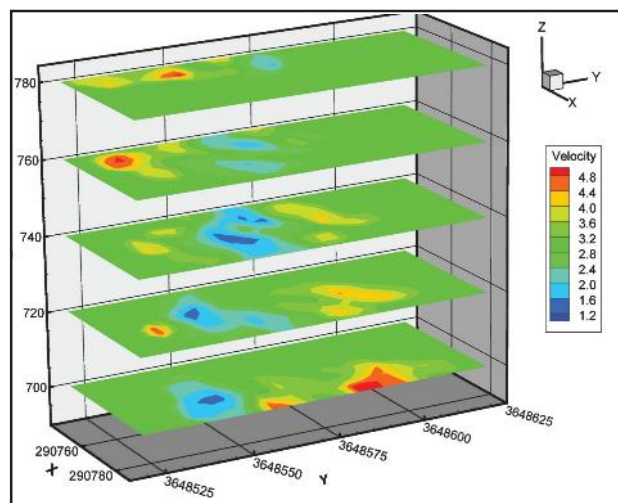
شکل ۲- الگوریتم بازگشتی برای وارونسازی زمان سیر (Berryman, 1991).



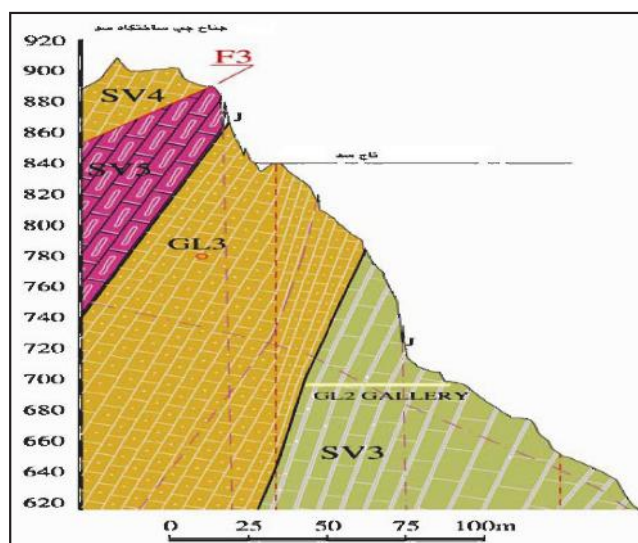
شکل ۳- نقشه زمین شناسی ساختمان سد بختیاری، با تغییر از Dietler et al. (2008)



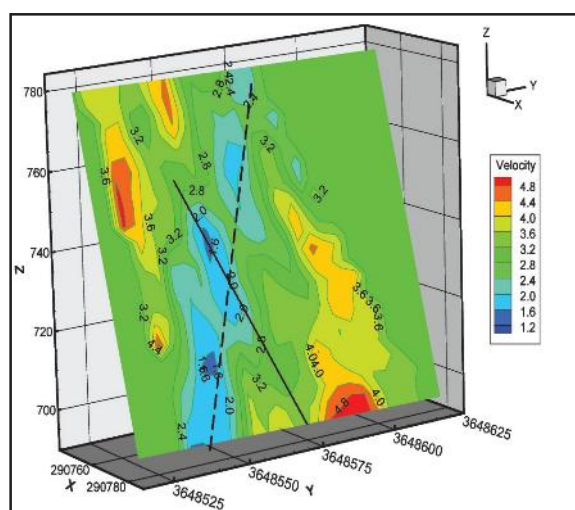
شکل ۴- موقعیت و محل قرارگیری گالری‌ها و مقاطع توموگرافی انجام شده (الف) در تکیه گاه راست ساختمان سد بختیاری (Nicksiar et al., 2007).



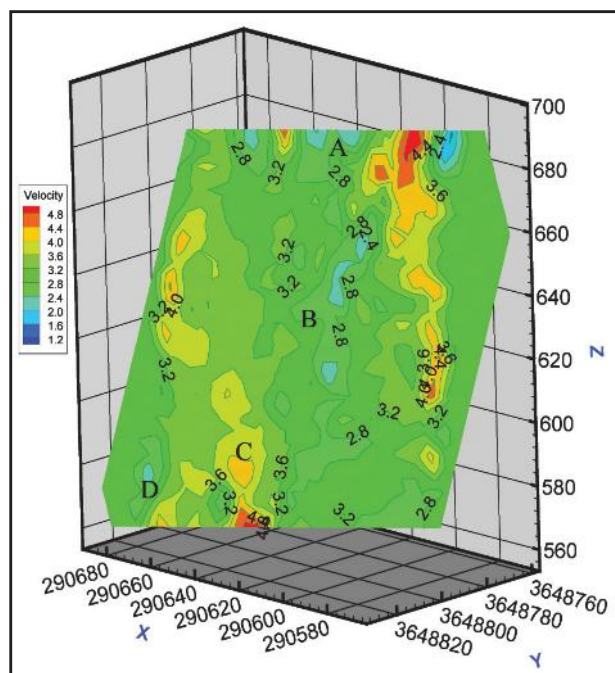
شکل ۵- تصویر سه بعدی توزیع سرعت حاصل از توموگرافی بین دو گالری GL2-GL3



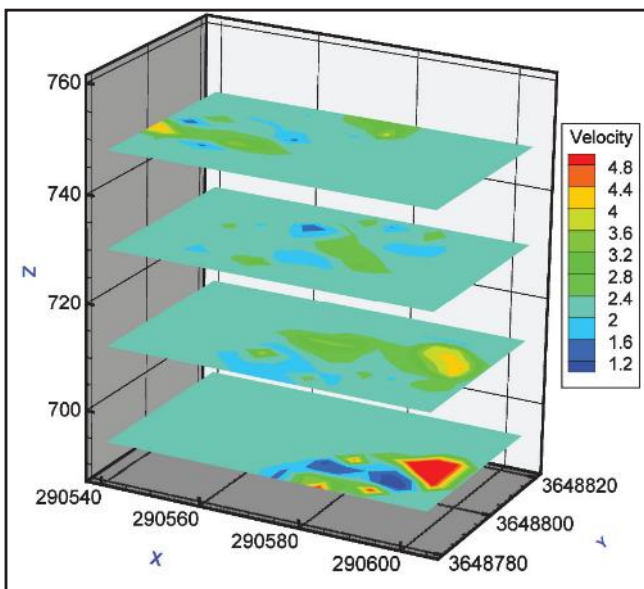
شکل ۶- برش زمین شناسی در امتداد B-B روی نقشه زمین شناسی



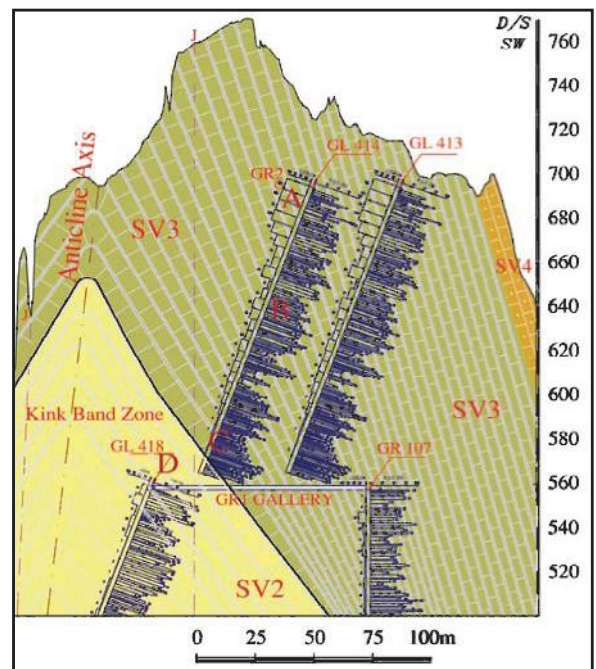
شکل ۷- مقطع توزیع سرعت حاصل از توموگرافی بین دو گالری GL2-GL3



شکل ۸- مقطع توزیع سرعت حاصل از توموگرافی بین دو گالری GR1-GR2



شکل ۱۰- تصویر سه بعدی توزیع سرعت حاصل از توموگرافی بین دو گالری GR2-GR3



شکل ۹- برش زمین‌شناسی در امتداد موازی با شاخه اصلی گالری GR1  
(امتداد A-A روی نقشه زمین‌شناسی)

## References

- Angioni, T., Rechtien, R. D. , Cardimono, S. J. & Luna, R., 2003- Crosshole seismic tomography and borehole logging for engineering site characterization in Sikeston, MO, USA, *Tectonophysics*, vol. 368, P.P.119 – 137.
- Baan, M. V.& Jutten, J., 2000- Neural networks in geophysical applications, *Geophysics*, vol. 65, NO. 4, P.P. 1032–1047.
- Bai, C. & Greenhalgh, S., 2005- 3-D Non-linear travel-time tomography: imaging high contrast velocity anomalies, *Pure and Applied Geophysics*, vol.162, P.P. 2029–2049.
- Barton, N., 2006 - Rock quality, seismic velocity, attenuation and anisotropy, First Edition Taylor & Francis.

- Berryman, J. G., 2000- Analysis of approximate inverses in tomography:I. Resolution analysis of common inverses , Optimization and Engineering, vol. 1, 87–115.
- Berryman, J. G., 1991- Lecture notes on nonlinear traveltimes and tomography, Earth resources laboratory, Massachusetts Institute of Technology, University of California.
- Bichkar, R. S., Singh, S. K. , Ray, A. K., 1998- Genetic algorithmic approach to the detection of subsurface voids in cross-hole seismic tomography , Pattern Recognition Letters vol. 19, P.P. 527–536.
- Boschetti, F. , Dentith, M. C. & List, R. D., 1996- Inversion of seismic refraction data using genetic algorithms , Geophysics, vol. 61, NO. 6, p.p 1715–1727.
- Dietler, Th. , Malekzadeh, L. , Binazadeh, K. H. & Novin, H., 2008- Bakhtiari dam and hydrolic power project ,Geological report, Iran Water and Power Resources Development Co (IWPC) Authority.
- Friedel, M. J. , Jackson, M. J. , Williams, E. M. , Olson, M. S. & Westman, E., 1996- Tomographic imaging of coal pillar conditions: Observations and implications , International Journal of Rock Mechanics & Mining Sciences, vol. 33(3), P.P. 279–290.
- Gheshlaghi, F., 1997- Tomographic imaging in civil engineering infrastructure, Ph.D. Thesis university of waterloo.
- Golami, A., 2005- Nonlinear travel time tomography, Institute of geophysics university of Tehran (in Persian).
- Greenhalgh, S., Zhou, B. & Cao, S., 2003- Crosswell seismic experiment for nickel sulphide exploration, Journal of Applied Geophysics 53, P.P. 77– 89.
- Gu, H., Cai, C. & Wang, Y., 2006- Investigation of Fractures Using Seismic Computerized Crosshole Tomography, JEEG, vol. 11, Issue 2, P.P 143–150.
- Hansen, T. M. , Journel, A. J. , Tarantola, A. & Mosegaard, K. , 2006- Linear inverse Gaussian theory and geostatistics, Geophysics, vol. 71, NO. 6, P.P R101–R111.
- Hanson, D. R., Vandegrift,T. L. , Demarco, M. J. & Hanna, K., 2002- Advanced techniques in site characterization and mining hazard detection for the underground coal industry , Int. J. Coal Geol., vol. 50, P.P. 275–301.
- Hyndman, D. W. & Harris, J. M., 1996- Traveltime inversion for the geometry of aquifer lithologie , Geophysics, Vol. 61, Issue 6, pp. 1728-1737.
- Li, C., 2005- Seismic tomography with non-uniform ray coverage and autoregressive extrapolation, Ph.D. thesis, Purdue University, 213 pages; AAT 3185792.
- Liu, J., 2005- Nonlinear seismic tomography and model uncertainty estimation with the Markov Chain Monte Carlo method , Ph.D. thesis, Purdue University, 161 pages; AAT 3210741.
- Nicksiar, M. , Esfandiary, M., Mehinrad, A. & Binazadeh, K., 2007- Application of Seismic Tomography for detecting potential seepage paths in Bakhtiari dam, Iran , Int J Rock Mech Mining Sci, vol. 44.
- Santamarina, J. C. & Fratta, D., 2005- Discrete signals and inverse problems: An introduction for engineers and scientists, First Edition, Wiley.
- Um, J. & Thurber, C., 1987- A fast algorithm for two-point seismic ray tracing , Bull. Seismol. Soc. Am., vol. 77, P.P. 972-986.
- Williams, M. C. , Leighton, V. L. , Vassiliou, A. A. , Tan, H. & Nemeth, T., 1997- Crosswell seismic imaging: A technology whose time has come? , The Leading Edge, vol. 16, Issue 3, P.P. 285-291.
- Wong, J., 2000- Crosshole seismic imaging for sulfide orebody delineation near Sudbury, Ontario, Canada , Geophysics, Vol. 65, Issue 6, pp. 1900-1907.

**Keywords :** Doruneh fault, Displacement, Geology

For Persian Version see pages 57 to 62

\*Corresponding author: H. Amini; E-mail: ese\_Amini@yahoo.Com

## Lithofacies, Depositional Environment and Relative Sea Level Changes in Deposits Attributed to Lalun Formation in Bahmoo Section, Poshte Badam Block

M. Hosseini-Barzi<sup>1\*</sup> & N. Etemad Saeed<sup>1</sup>

<sup>1</sup>Department of Geology, Faculty of Earth Sciences, University of Shahid Beheshti, Tehran, Iran.

Received: 2008 September 15

Accepted: 2009 February 23

### Abstract

The Early Cambrian Lalun Formation in Poshte-Badam block has been studied in Bahmoo section with 550 m thickness, to illuminate its sedimentary environment and sea level changes. The field investigations, collection of 110 paleocurrent data, petrography, study of SEM images and XRD analysis of shale samples have been used for facies analysis, paleocurrent recognition and sedimentary environment reconstruction. The facies analyses imply 5 siliciclastic coarse grained (Gm), medium grained (Sp, St, Sh) and fine grained (Fl) lithofacies and 1 carbonate (dolomite) microfacies. The lithofacies, bipolar bimodal paleocurrent pattern and petrographic evidences such as the existence of glauconitic sandstones with high textural and compositional maturity imply deposition of these sediments in a Tidal Flat environment. Studying the relative sea level changes of Lalun deposits in this area imply two sequences which have been bounded between SB1 unconformities.

**Key Words:** Lalun Formation, Lithofacies, Paleocurrent, Relative sea level changes

For Persian Version see pages 63 to 70

\*Corresponding author: M. Hosseini-Barzi; E-mail: m\_hosseini@sbu.ac.ir

## Detecting Potential Seepage Paths in Bakhtyari Dam Site using Seismic Tomography

Y. Sharghi<sup>1\*</sup>, F. Alinia<sup>2</sup> & H. R. Siahkoohi<sup>3</sup>

<sup>1</sup>Mining Engineering Department, Sahand University of Technology, Tabriz, Iran

<sup>2</sup>Mining Engineering Department, Amirkabir University of Technology, Tehran, Iran

<sup>3</sup>Institute of Geophysics, Tehran University, Tehran, Iran

Received: 2008 August 02      Accepted: 2009 March 01

### Abstract

Seismic travel time tomography uses seismic waves to image velocity distribution inside the ground. This method has been widely applied to practical applications in many fields including earth sciences. In this method, first-arrival times of seismic waves due to artificial sources, observed at receivers in the vicinity of the exploration target are analyzed to obtain the velocity distribution within the propagation area. This paper describes the seismic tomography investigation performed at the abutments of Bakhtyari Dam site. The study aimed to find the low-velocity zones that may correspond to jointed media where seepage most likely happens. We performed 3-D tomographic inversion on Bakhtiari dam seismic data. To perform ray tracing and travel-time computation at each iteration, we used Um and Thurber (1987) method and for inversion step we used SIRT method. In most of the tomograms, average velocity was 3km/s. According to the Barton relation (2006) the seepage potential in dam sit abutments, is low. A low velocity zone has been detected above the 690 m level in right abutment. It shows that the weak zones extended from surface down to this level. Despite the presence of some weak zones, the rock mass quality is good, and the design of the grout curtain could help to bypass the reservoir water away from these seepage paths

**Keywords:** Seismic Tomography, Tomogram, Dam, Seepage, Seismic, Inversion, Lugeon, Seepage Potential

For Persian Version see pages 71 to 78

\*Corresponding author: Y. Sharghi; E-mail: YSharghi@sut.ac.ir

## Calcareous Algae of the Permian Deposits in Central Alborz: An Environmental and Sequence Stratigraphic Approach

H. Mosadegh<sup>1</sup> & M. Lankarani<sup>2\*</sup>

<sup>1</sup> Faculty of Geoscience, Damghan University, Damghan, Iran

<sup>2</sup> Faculty of Geology, University College of Science, University of Tehran, Tehran, Iran

Received: 2008 December 27

Accepted: 2009 March 04

### Abstract

The carbonate facies of Permian in Gaduk area (Central Alborz) are dominated by calcareous algae. Study of the facies resulted in recognition of several species of Cyanobacteria, Dasycladacean and Gymnocodiacean green algae and also Phylloid algae. In the studied succession, Phylloid algae are identified in carbonate shoal facies. Cyanobacteria mostly occurred in tidal to lagoonal facies, as encrusters. Dasycladacean and Gymnocodiacean green algae mostly occurred in inner ramp facies. Gymnocodiaceans were found in deeper parts in comparison to Dasycladaceans. Occurrence of Cyanobacteria in depositional sequences coincides with type-one sequence boundaries. Phylloid algae are identified in the facies related to transgressive surfaces and maximum abundance of Dasycladaceans and Gymnocodiaceans was found around maximum flooding surfaces and in highstand systems tracts. Abundance of the calcareous algae shows an increasing trend from the base to the top of carbonate parasequences. Proliferation of the calcareous algae was found in close relationship to climate warming and ice-house to green-house transition in Permian of Alborz.

**Keywords:** Permian, Central Alborz, Calcareous Algae, Environmental Condition, Sequence Stratigraphy

For Persian Version see pages 79 to 84

\* Corresponding author: M. Lankarani ; E-mail: mlankarani@khayam.ut.ac.ir

## Various stages of Sulfide Mineralization in Sargaz Volcanogenic Massive Sulfide Deposit, Northwest Jiroft, Southern Sanandaj-Sirjan

Z. Badrzadeh<sup>1\*</sup>, M. Sabzehei<sup>2</sup>, E. Rastad<sup>1</sup>, M. H. Emami<sup>2</sup>, D. Gimeno<sup>3</sup>

<sup>1</sup>Department of Geology, Faculty of Basic Sciences, Tarbiat Modares University, Tehran, Iran.

<sup>2</sup>Geological Survey of Iran, Tehran, Iran.

<sup>3</sup>University of Barcelona, Barcelona, Spain.

Received: 2008 April 22

Accepted: 2009 April 06

### Abstract

The Sargaz massive sulfide deposit is situated near Jiroft (south-east Kerman), in the southern Sanandaj-Sirjan Zone. The host rocks are Upper Triassic to lower Jurassic(?) pillow basalt. The occurrence of mineralization in basaltic to basaltic andesite, the existence of Jaspilite and Fe-Mn horizons in distal part of the deposit, the occurrence of a stringer zone discordantly under massive ore, the presence of pyrite as the main sulfide mineral, brecciated textures and mineralogical zonation in the massive ore, all suggest that the Sargaz deposit can be classified as a volcanogenic massive sulfide deposit. The mineralogy is reasonably simple, with pyrite being the main sulfide mineral, with lesser chalcopyrite and sphalerite. On the basis of different generation of minerals, shape, size, their mutual geometry, relative timing of crosscutting structures and replacement features, brecciated textures and mineralogical zonation indicate that the growth history of the Sargaz deposit was complex due to syn and post depositional processes. Based on mineralogical, textural and paragenetic relationships, four principal stages of mineralization are recognized. Stage I mainly consist of fine grained pyrite (As rich), and locally sphalerite, quartz and barite. Framboidal pyrite, colloform